

ФАЗОВЫЕ ПРЕВРАЩЕНИЯ И СТРУКТУРА КРИСТАЛЛА C_{60} , ДОПИРОВАННОГО ЛИТИЕМ МЕТОДОМ ЭЛЕКТРОДИФФУЗИИ

P. A. Диланян, С. С. Хасанов, С. И. Бредихин, А. Ф. Гуров,
В. В. Кведер**, Ю. А. Осипьян, А. И. Шалынин*

*Институт физики твердого тела Российской академии наук
142432, Черноголовка, Московская обл., Россия*

Поступила в редакцию 28 марта 2001 г.

Представлены результаты исследования структуры и фазовых превращений кристаллов C_{60} , легированных литием путем инжекции ионов металлов из гетероперехода «суперионный кристалл–моноокристалл C_{60} » методом электродиффузии. Показано, что в области температур 320–370 К в образце происходят необратимые превращения, приводящие к практически полному исчезновению сигналов ЭПР и СВЧ-проводимости. В данном температурном интервале происходит выделение новой фазы C_{60} , характеризующейся формированием полимерных цепочек молекул C_{60} вдоль кристаллографической оси *c*, и образование литиевых кластеров. Определена структура данной фазы. Было также установлено, что отжиг при температуре 620 К приводит к восстановлению сигнала ЭПР. При этом, согласно данным рентгеноискривленной дифракции, происходит восстановление исходной кубической структуры чистого C_{60} . Однако присутствие на дифракционной картине дополнительных пиков указывает на наличие еще одной фазы с неизвестной к настоящему моменту структурой.

PACS: 61.49.+w, 61.66.-f, 64.70.-p, 65.40.-f, 76.30.-v

1. ВВЕДЕНИЕ

Изучению физических свойств интеркалированных щелочными металлами соединений фуллерена, фуллеридов, уделяется повышенное внимание, прежде всего благодаря обнаружению в ряде данных соединений сверхпроводящих свойств. Исходная фаза фуллерена C_{60} при нормальных условиях имеет гранецентрированную кубическую структуру с параметром решетки $a = 14.16 \text{ \AA}$. Благодаря наличию октаэдрических пустот, образующих трехмерные сетки каналов, расположенных вдоль кристаллографических осей [11], имеется возможность внедрения в структуру исходного кристалла C_{60} широкого набора элементов периодической системы. Молекулы C_{60} посредством двойных винильных связей могут участвовать в реакциях присоединения к атомам, а также образовывать полимерные цепочки под действием излучения и давления. Соединения с об-

щей формулой $A_x C_{60}$, где $A = K, Rb$ и Cs , к настоящему времени наиболее изучены [1]. Было установлено, что в зависимости от величины параметра x меняются проводящие свойства данных соединений. Так, например, соединения $A_3 C_{60}$ обладают металлической проводимостью и переходят в сверхпроводящее состояние при понижении температуры [2, 3]. Однако при $x = 4$ соединения обладают диэлектрическими свойствами [4]. Также хорошо известно, что соединения AC_{60} образуют полимерную форму ниже 400 К с орторомбической структурой [5–7], в которой молекулы C_{60} формируют параллельные зараженные цепочки.

Фуллериды лития изучались не столь активно. Особенности процессов жидкого и твердофазного внедрения лития рассмотрены в [8]. В работе [9] представлены результаты исследования физико-химических свойств фуллеридов лития, полученных жидкофазным методом. Показано, что в области составов $Li_x C_{60}$ ($0 < x < 12$) образуется твердый раствор внедрения, а при дальнейшем увеличении концентрации лития происходит образование литиев-

*E-mail: ruben@issp.ac.ru

**E-mail: kveder@issp.ac.ru

вых кластеров, при этом молекулы C_{60} формируют полимерные цепочки. Результаты рентгенофазового анализа образцов, изученных сразу же после синтеза, свидетельствовали о моноклинной симметрии полученной решетки. Однако после некоторого хранения образцы были отнесены к орторомбической сингонии с параметрами $a = 9.11 \text{ \AA}$, $b = 9.87 \text{ \AA}$ и $c = 14.76 \text{ \AA}$.

Очевидно, что для понимания процессов, происходящих в системах $A_x C_{60}$, представляется необходимым исследовать поведение монокристаллов C_{60} при малых степенях легирования их щелочными металлами. Однако при использовании обычной диффузии получить такие образцы очень сложно из-за распада системы на стабильные фазы с целым x . Такие системы в настоящее время остаются практически неизученными в связи со сложностью приготовления образцов.

В нашей предыдущей работе [10] был разработан и предложен новый подход к регулированному легированию монокристаллов C_{60} ионами металлов путем инжекции ионов из гетероперехода «суперионный кристалл–монокристалл C_{60} » методом электродиффузии и исследованы электронные свойства полученных таким образом монокристаллов $Li_x C_{60}$. Было показано, что при температуре ниже 250 К свойства получаемых образцов не меняются во времени, в то же время при $T > 280$ К наблюдаются сильная эволюция спектров ЭПР и ИК-отражения во времени и, в частности, практически полное исчезновение сигналов ЭПР и СВЧ-проводимости. Было установлено, что при комнатной температуре происходят необратимые изменения свойств кристаллов $Li_x C_{60}$.

Целью данной работы является исследование кристаллической структуры легированных литием монокристаллов C_{60} и изучение фазовых превращений, происходящих в системе $Li_x C_{60}$, рентгеновскими и калориметрическими методами.

2. ЭКСПЕРИМЕНТ

Монокристаллы C_{60} были выращены в ИФТТ РАН методом физического парового транспорта (сублимации) при заданном градиенте температуры в вакуумированной ампуле при температурах от 870 до 910 К. Исходный материал C_{60} после очистки методом хроматографии и удаления следов растворителя многократной пересублимацией в вакууме имел чистоту не хуже 99.98 %. Для измерений

отбирались монокристаллы в виде тонких плоско-параллельных пластинок с естественной огранкой. Плоскости огранки соответствовали плоскостям типа (111). Толщина образцов была от 0.7 до 2 мм, остальные два размера обычно были 2–4 мм.

Для инжекции ионов лития в образец к противоположным плоскопараллельным граням (111) монокристалла C_{60} механически прижимались электроды. В качестве катода использовался графит, а в качестве анода — двухслойные электроды $Li_{0.2}WO_3 | Li_7SiPO_8$, обладающие высокой ионной проводимостью по катионам лития и блокирующие электронную компоненту тока. В соответствии со сказанным выше использование ячеек типа



позволяло инжектировать катионы лития в монокристаллы C_{60} и осуществлять контролируемое легирование исследуемых образцов. В процессе легирования ячейка располагалась в вакуумном термостате. Большинство экспериментов было выполнено при напряжении на ячейке от 10 до 200 В при температурах 400–520 К. Характерный ток, протекающий через ячейку, был порядка 2–20 мА. После электродиффузии (время процесса варьировалось от 1 до 100 ч) образец быстро перегружался в кварцевую ампулу и хранился при температуре жидкого азота до последующих измерений. Калориметрические исследования выполнялись на микрокалориметре DSC-7 фирмы «Perkin Elmer» в температурном интервале 77–500 К при скорости сканирования 20 К/мин. Свежеприготовленные образцы исследовались на дифрактометре ENRAF NONIUS CAD-4. Далее, после хранения при комнатной температуре, образцы размалывались в порошок. Рентгенодифракционные данные снимались при комнатной температуре на дифрактометре SIEMENS D500. Анализ структур порошков проводился методом Риетвельда с использованием программы RIETAN-98 [11].

3. РЕЗУЛЬТАТЫ И ОБСУЖДЕНИЕ

Как уже отмечалось выше, выдержка образцов $Li_x C_{60}$ при комнатной температуре приводит к радикальной перестройке спектров ИК-отражения и сильному уменьшению сигнала ЭПР и СВЧ-проводимости. Для объяснения этого явления в работе [10] было высказано предположение о том, что в легированных образцах $Li_x C_{60}$ происходит образование новых фаз или соединений. Для подтверждения

этого предположения и с целью выяснения природы фазовых переходов в настоящей работе были проведены калориметрические исследования монокристаллов C_{60} , легированных литием.

Исследования слаболегированных образцов Li_xC_{60} ($x \ll 1$) показали, что на зависимости теплоемкости C_p от температуры при первом нагреве наблюдаются тепловыделения при температурах 220–250 К и 320–370 К (рис. 1, кривая 1). На кривой теплоемкости, полученной при повторном сканировании (кривая 2), а также при последующих измерениях наблюдается только один пик при 220–250 К. Это указывает на то, что в области температур 320–370 К в образце происходят необратимые превращения. Тепловыделения в интервале 220–250 К соответствуют хорошо известному ориентационному фазовому переходу в чистом C_{60} . Наличие данного пика указывает на то, что в процессе легирования часть образца остается в исходном состоянии. В случае с сильнолегированными образцами Li_xC_{60} в температурной зависимости C_p практически отсутствует пик, связанный с ориентационным переходом (рис. 1б). Это позволяет предположить, что образование новых фаз происходит в большей части образца. Вычисление теплового эффекта при первом сканировании теплоемкости (кривая 1) дало значение тепловыделения порядка $\Delta Q = 15.1$ кДж/моль, или 0.16 эВ в пересчете на одну молекулу. Однако, так как необратимые превращения происходят лишь в части образца, вычисленное нами значение теплового эффекта (0.16 эВ на одну молекулу) является явно заниженным. Экспериментальное значение тепловыделения на одну молекулу $\Delta Q > 0.16$ эВ свидетельствует о том, что в легированных образцах Li_xC_{60} при 320–370 К происходит образование новой фазы или соединения. Представляет интерес изучение кристаллической структуры данной фазы.

Предварительный анализ дифракционных данных показал, что фаза, образующаяся при 320–370 К (в дальнейшем для удобства изложения будем называть ее фазой II), является орторомбической с параметрами

$$a = 14.74 \text{ \AA}, \quad b = 9.84 \text{ \AA}, \quad c = 9.09 \text{ \AA}.$$

Кристаллографические оси данной орторомбической ячейки (a, b, c) соотносятся с кристаллографическими осями кубической ячейки чистого C_{60} как $a \approx a_c$, $b \approx a_c/\sqrt{2}$, $c \approx a_c/\sqrt{2}$, где a_c — период нелегированной фазы с искажениями (1.04, 0.98, 0.91). Систематические погасания рефлексов могут быть описаны двумя простран-

ственными группами, Imm и $Pnnm$. Малая, практически равная фону, интенсивность рефлексов, которые разрешены в симметрии $Pnnm$ и запрещены в Imm , не позволяет адекватно определить пространственную группу. Однако нами была выбрана группа $Pnnm$ по следующим соображениям. Лишь в этом случае имеется возможность задавать различные ориентации молекулы C_{60} , тогда как в случае пространственной группы Imm такой возможности нет. Следует отметить, что полученные нами параметры орторомбической решетки совпадают со значениями, представленными в [9]. Примечательно также, что наши данные совпадают с полученными в работе [12], посвященной изучению структуры фазы высокого давления чистого C_{60} . Характерное значение параметра c указывает на возможность формирования молекулами C_{60} полимерных цепочек вдоль c [12–14].

В качестве начальной модели для анализа структуры фазы II были взяты параметры, представленные в работе [12]. При этом позиции атомов углерода были несколько изменены, так чтобы они располагались на идеальной сферической поверхности. Изотропные тепловые факторы B_{iso} были зафиксированы с одинаковым значением 1.0 для всех атомов углерода. Уточнялись параметры решетки, фона и профили дифракционных линий. Были получены следующие параметры:

$$R_{wp} = 3.67\%, \quad R_B = 1.36\%,$$

$$\chi^2 = (R_{wp}/R_E)^2 = 7.3.$$

На данном этапе анализа структуры фазы II становится важным определение ориентации молекул C_{60} в орторомбической решетке. Основываясь на том, что молекулы формируют цепочки вдоль направления c , ориентацию можно задавать путем поворота молекулы как целого вокруг данной оси на определенный угол. Нами были проведены уточнения структуры путем задания дискретного набора разворотов C_{60} в интервале углов $0 \leq \alpha \leq 180^\circ$ с шагом 5° . Исходная ориентация ($\alpha = 0$) соответствует такому положению молекулы, когда полимерные связи расположены в плоскости, параллельной ab . На рис. 2 представлена зависимость параметра χ^2 от угла α . Как видно из рисунка, имеет место основной минимум при значении α в интервале 20 – 30° . Данный минимум соответствует наиболее вероятной ориентации молекул C_{60} .

Еще одним критерием для анализа ориентации молекул C_{60} являлись результаты работы [15], посвященной изучению молекулярного формфактора

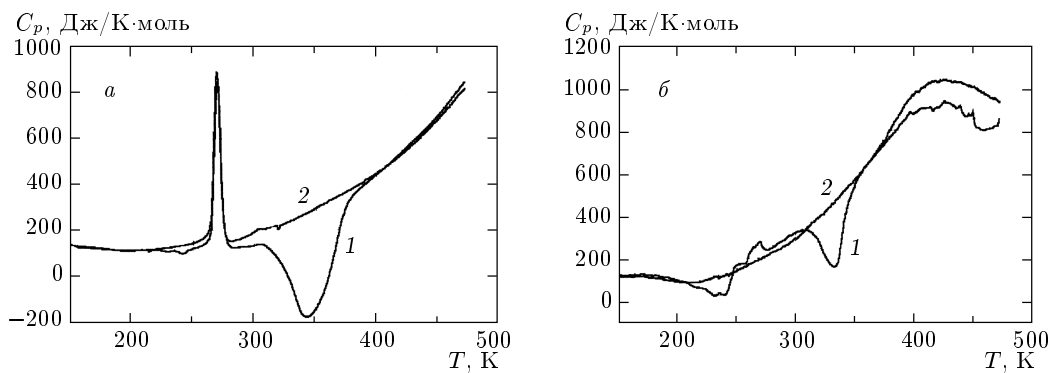


Рис. 1. Температурные зависимости теплоемкости для (а) слаболегированных ($x \ll 1$) и (б) сильнолегированных ($x \geq 1$) образцов Li_xC_{60} , полученные при первом (кривые 1) и втором (кривые 2) сканированиях

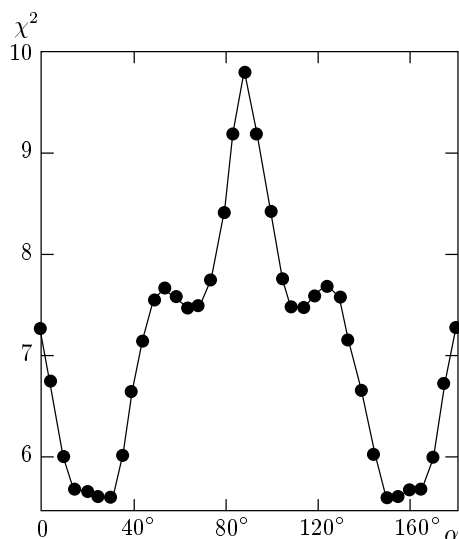


Рис. 2. Зависимость параметра χ^2 от угла поворота молекулы C_{60} вокруг оси c

C_{60} . В частности, было показано, что дифракционные линии с большим вектором рассеяния ($SD > 2$, где S — вектор рассеяния, D — диаметр молекулы) наиболее чувствительны к особенностям ориентации молекул фуллерена. Таким образом, контроль качества уточнения на дальних дифракционных углах также позволяет определить наиболее вероятную ориентацию молекул C_{60} .

Для дальнейшего анализа мы остановились на ориентации со значением $\alpha = 30^\circ$. Были уточнены изотропные тепловые факторы B_{iso} (одинаковые для всех атомов углерода) и позиции атомов. При этом, поскольку координаты x и y определяются углом разворота C_{60} вокруг оси c , уточнялись только координаты z . На рис. 3 показана окончательная

Таблица 1. Параметры решетки и итоговые параметры уточнения (пространственная группа $Pnnm$)

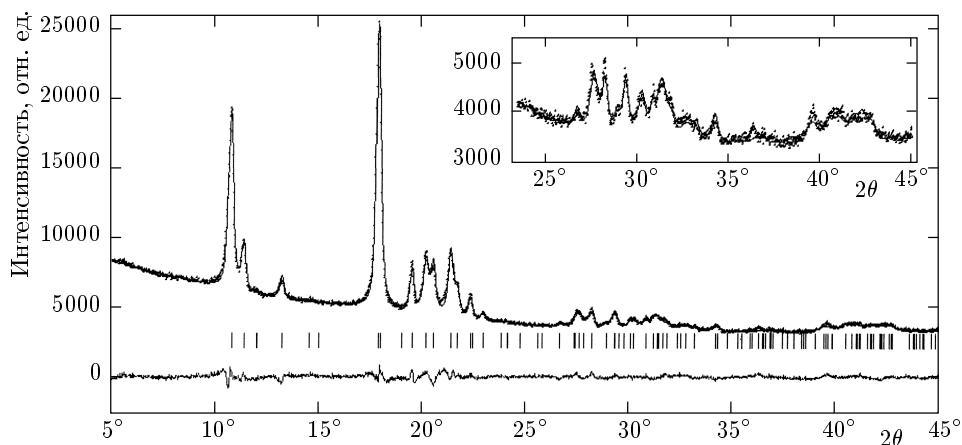
$a, \text{\AA}$	14.745(2)	$R_{wp}, \%$	2.47
$b, \text{\AA}$	9.843(2)	$R_B, \%$	0.79
$c, \text{\AA}$	9.092(1)	$R_E, \%$	1.36
$V, \text{\AA}^3$	1319.5(4)	χ^2	3.30

дифракционная картина. Итоговые параметры уточнения и координаты атомов представлены соответственно в табл. 1 и 2. Средние длины одинарных C—C и двойных C=C связей определены соответственно как 1.431 и 1.392 Å. Приведем также ближайшие межмолекулярные расстояния: 9.09 Å вдоль направления [001], 9.84 Å вдоль [010] и 9.96 Å вдоль [111]. Значение 9.09 Å для двух соседних молекул C_{60} (направление [001]) указывает на полимерную связь между молекулами вдоль данного направления. В табл. 3 представлены значения объема, приходящегося на одну молекулу, в сравнении с данными для исходного кубического кристалла и для фазы высокого давления. Наблюдается уменьшение объема ячейки, причем эффект сопоставим с аналогичным для фазы высокого давления (см. [12]).

Данные калориметрических и рентгеноструктурных исследований хорошо коррелируют с полученными ранее результатами по исследованию эволюции спектров ЭПР в образцах C_{60} , легированных литием [10]. В работе [10] было показано, что в отличие от исходных образцов, в которых не наблюдался сигнал ЭПР, в кристаллах C_{60} , легированных литием, появлялся интенсивный сигнал ЭПР, состоящий из нескольких линий с g -факторами, близкими к 2.0.

Таблица 2. Структурные параметры орторомбической фазы

Атом	<i>g</i>	<i>x</i>	<i>y</i>	<i>z</i>	<i>B_{iso}</i>
C1	1.0	0.2276	-0.1153	0.0	2.42(5)
C2	1.0	0.1178	0.3056	0.085(1)	2.42(5)
C3	1.0	0.0408	-0.0353	0.409(1)	2.42(5)
C4	1.0	0.2234	0.1103	0.078(1)	2.42(5)
C5	1.0	0.1208	0.1664	0.288(1)	2.42(5)
C6	1.0	0.1765	-0.6782	0.254(1)	2.42(5)
C7	1.0	0.2260	-0.0293	0.132(1)	2.42(5)
C8	1.0	0.1713	0.2073	0.157(1)	2.42(5)
C9	1.0	0.1228	0.0307	0.329(1)	2.42(5)
C10	1.0	-0.1805	0.2376	0.0	2.42(5)
C11	1.0	-0.0479	0.3449	0.081(1)	2.42(5)
C12	1.0	0.0358	0.2399	0.283(1)	2.42(5)
C13	1.0	-0.1275	0.1950	0.265(1)	2.42(5)
C14	1.0	-0.1299	0.2785	0.133(1)	2.42(5)
C15	1.0	0.0342	0.3258	0.164(1)	2.42(5)
C16	1.0	-0.0436	0.1746	0.336(1)	2.42(5)

Рис. 3. Экспериментальная, рассчитанная и разностная кривые дифракционного спектра орторомбической фазы C₆₀

Основные линии, всегда присутствующие в спектрах ЭПР легированных кристаллов, можно разбить на три группы: *X*1, *X*2 и *X*3. Проведенные исследования показали, что при температуре ниже 250 К интенсивность линий ЭПР не зависит от времени. Однако при $T > 280$ К наблюдается сильная эволюция интенсивностей линий *X*1 и *X*2. Качественно это можно видеть на рис. 4а, где спектр 1 измерен сразу после быстрого (в течение нескольких

минут) охлаждения образца от температуры 520 К, при которой осуществлялось насыщение образца лигтием, до комнатной температуры. Спектры 2–4 последовательно измерялись с интервалом в несколько часов. При этом образец постоянно находился при комнатной температуре. Оказалось, что эволюцию спектров ЭПР во времени можно объяснить в предположении, что параллельно происходят два независимых процесса:

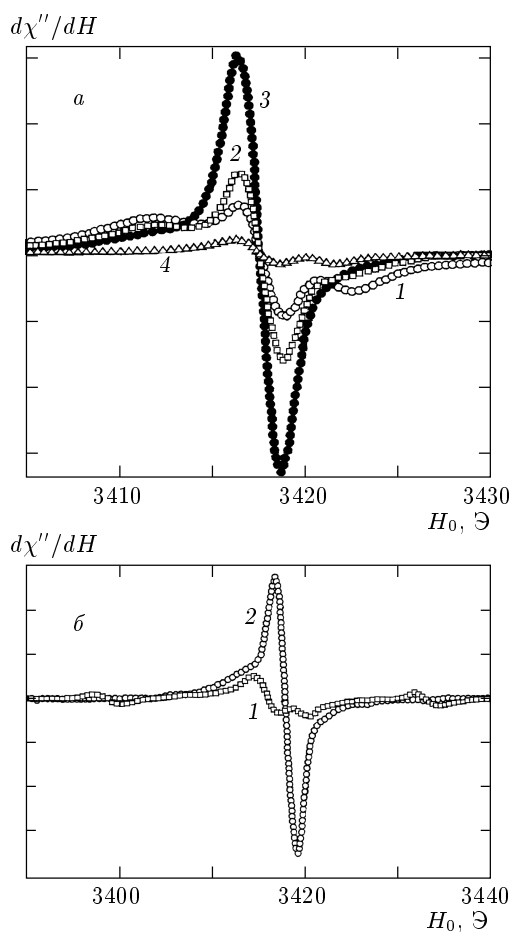


Рис. 4. Трансформация спектров ЭПР *a)* кристалла C_{60} , легированного литием методом электродиффузии, и *б)* образца Li_xC_{60} , отожженного при $T = 620$ К

1) уменьшение концентрации центров $X1$ (широкая линия ЭПР) за счет преобразования центров $X1$ в $X2$ (узкая линия ЭПР);

2) уменьшение концентрации центров $X2$ за счет их превращения в ЭПР-неактивные комплексы.

Можно предположить, что центры $X1$ (широкая линия ЭПР) соответствуют электронам в зоне проводимости слаболегированной области кристалла Li_xC_{60} с $x \ll 1$, тогда как центры $X2$ соответствуют электронам на молекулах C_{60} в образующейся новой фазе. Тогда процесс 1, трансформирующий центры $X1$ в $X2$, соответствует, по-видимому, образованию новой фазы при температурах 220–250 К. Процесс 2, ответственный за исчезновение $X2$ -сигнала ЭПР, очевидно, более сложен. По-видимому, он связан с образованием новой фазы и соответствует процессу тепловыделения на кривой теплоемкости при температурах 320–370 К. В пользу этого предполо-

Таблица 3. Значения объема, приходящегося на одну молекулу C_{60}

Симметрия	$Pnnm$	$Pnnm$	$Pm\bar{3}m$
$V_0, \text{ \AA}^3$	659.7	663.6*	711.6**

Примечание. * Орторомбическая полимерная фаза высокого давления [12]; ** исходная фаза кубического C_{60} , $a = 14.17$ Å.

жения свидетельствует тот факт, что после завершения процесса тепловыделения сигнал ЭПР на образцах Li_xC_{60} отсутствует.

Таким образом, нами было установлено, что в области температур 320–370 К формируется полимерная орторомбическая структура. При этом полимерные цепочки, расположенные вдоль направления $[0, 0, z]$, развернуты против часовой стрелки, а цепочки вдоль направления $[1/2, 1/2, z]$ — по часовой стрелке на угол $\alpha \approx 30^\circ$. Представляет интерес вопрос о наличии лития в данной структуре. Понятно, что вклад лития в интенсивность дифракционных линий незначительный (малое сечение рассеяния). По этой причине мы не учитывали его в процессе уточнения. Небольшое количество лития может присутствовать в структуре, занимая, например, тетраэдрические пустоты. Возможности такого рода позиционного порядка теоретически были рассмотрены в работе [6]. Кроме того, литий может концентрироваться в областях разрыва полимерных цепочек C_{60} , замыкая их на краях. Однако наиболее вероятным, на наш взгляд, является то, что в указанном температурном интервале происходит выделение орторомбической полимерной фазы C_{60} и образование литиевых кластеров (на это же указывают результаты ИК-спектроскопии, представленные в работе [9]). Этим можно объяснить факт сильного уменьшения сигнала ЭПР.

Исследование полимеризованных фаз кристаллов C_{60} , получаемых в результате полимеризации при высоком давлении, показало, что полимерные фазы являются неустойчивыми при высоких температурах и их высокотемпературный отжиг (620 К) приводит к восстановлению исходных мономерных фаз кристаллов C_{60} . Для ответа на вопрос, является ли устойчивой при $T = 520$ –620 К описанная выше полимерная фаза фуллерита, нами было изучено влияние высокотемпературного отжига на свойства монокристаллов, легированных литием.

Прежде всего, проведенные исследования показали, что отжиг при температуре 620 К приводит к

Рис. 5. Лауэграмма (*a*) и рентгенограмма вращения (*b*) монокристалла C_{60} , легированного литием методом электродиффузии ($T = 170$ К; излучение MoK_{α})

восстановлению сигнала ЭПР. В качестве иллюстрации на рис. 4б приводятся спектры ЭПР образца Li_xC_{60} после длительного хранения при комнатной температуре (кривая 1) и этого же образца после его отжига при температуре 350 К в течение одного часа. Видно, что отжиг при $T = 620$ К приводит к восстановлению в спектре ЭПР линий $X1$ и $X2$, появление которых свидетельствует о разрыве полимерных цепочек орторомбической фазы II. Следует, однако, отметить, что полученный в результате отжига образец отличается от свежелегированных образцов Li_xC_{60} тем, что возникающие в нем ЭПР-активные центры $X1$ и $X2$ характеризуются незначительной эволюцией концентрации центров во времени.

Согласно данным рентгеновской дифракции, отжиг при температуре 620 К приводит к восстановлению исходной кубической структуры с параметром ячейки $a = 14.177(2)$ Å. Однако присутствие на дифракционной картине дополнительных пиков указывает на наличие еще одной фазы с неизвестной к настоящему моменту структурой. Положения дифракционных линий, относящихся к данной фазе, не могут быть описаны с помощью параметров приведенной выше орторомбической ячейки (в противном случае данный экспериментальный факт можно было бы объяснить тем, что время отжига оказалось недостаточным для полного перехода из полимерной орторомбической фазы в кубическую). Можно предположить, что при нагреве образца от комнатной температуры до 620 К происходит еще один фазовый переход (фаза II') с формированием но-

вой структуры, следы которой мы и наблюдаем на дифракционной картине. Можно также предположить, что в процессе отжига происходит разрыв полимерных цепочек с образованием как отдельных молекул C_{60} , так и димеров $C_{60}-C_{60}$ (переход II-II'). Кроме того, при данной температуре литиевые кластеры также могут участвовать в реакции с молекулами C_{60} (или димерами $C_{60}-C_{60}$). Таким образом, высокотемпературный отжиг приводит как к образованию фаз Li_xC_{60} , так и к восстановлению исходной кубической фазы C_{60} . Однако все это является лишь предположением, и для выяснения природы неизвестной фазы необходимы более тщательные эксперименты *in situ*.

В заключение скажем несколько слов о низкотемпературной фазе I. На рис. 5 представлены лауэграмма (*a*) и рентгенограмма вращения (*b*) монокристалла C_{60} , допированного литием, снятые при $T = 170$ К. Расщепление ряда рефлексов кубической ячейки, например, $(220)_C$, $(311)_C$ и $(422)_C$, указывает на то, что внедрение лития приводит к понижению симметрии. Ряд рефлексов (нерасщепленных) был отнесен к кубической сингонии с параметром $a = 14.11$ Å. Наличие пиков кубической фазы подтверждает представленные выше данные о том, что интеркаляция лития происходит лишь в части образца. Одной из причин, затрудняющей определение структуры фазы I, является проблема реального количества фаз или структурных состояний в данном температурном интервале. Дело в том, что в процессе охлаждения образца от температуры синтеза

возможен ряд фазовых превращений, в частности, наличие фазового перехода в области температур 320–370 К. К настоящему моменту нет никакой информации о поведении описанной выше полимерной орторомбической фазы при низких температурах. Можно предположить, что при $T < 250$ К реализуется весьма сложное состояние, включающее ряд фаз, а также, что резкое охлаждение образца после синтеза до температур $T < 250$ К позволит решить данную проблему.

4. ЗАКЛЮЧЕНИЕ

Таким образом, нами

- 1) проведены исследования структуры и фазовых превращений в кристаллах C_{60} , легированных литием методом электродиффузии;
- 2) обнаружено, что в области температур 320–370 К в образце происходят необратимые превращения;
- 3) установлено, что превращения происходят лишь в части образца, причем размер данной области зависит от степени легирования;
- 4) определена структура новой фазы: орторомбическая, пространственная группа $Pnnm$, параметры решетки $a = 14.745 \text{ \AA}$, $b = 9.843 \text{ \AA}$ и $c = 9.092 \text{ \AA}$; молекулы C_{60} формируют полимерные цепочки вдоль кристаллографической оси c ;
- 5) установлено, что отжиг при температуре 620 К приводит к восстановлению сигнала ЭПР.

ЛИТЕРАТУРА

1. D. M. Poirier, D. W. Owens, and J. H. Weaver, Phys. Rev. **51**, 1830 (1995).
2. A. F. Hebard, M. J. Rosseinsky, R. C. Haddon et al., Nature **350**, 600 (1991).
3. W. Kratschmer, L. D. Lamb, K. Fostiropoulos, and D. R. Huffnagel, Nature **347**, 354 (1990).
4. R. Kerkoud, P. Auban-Senzier, D. Jerome et al., Synth. Met. **77**, 205 (1996).
5. S. Pekker, L. Forro, L. Mihaly, and A. Janossy, Sol. St. Comm. **90**, 349 (1994).
6. P. W. Stephens, G. Bortel, G. Faigel et al., Nature **370**, 636 (1994).
7. S. Pekker, A. Janossy, L. Mihaly et al., Science **265**, 1077 (1994).
8. Г. Ю. Митронова, А. П. Савченкова, А. Ф. Майорова и др., Доклады РАН **348**, 491 (1996).
9. А. П. Савченкова, В. В. Авдеев, Н. А. Зубарева и др., ЖФХ **72**, 1337 (1998).
10. А. В. Баженов, С. И. Бредихин, В. В. Кведер и др., ЖЭТФ **116**, 1706 (1999).
11. F. Izumi, Commission on Powder Diffraction, International Union of Crystallography, Newsletter № 20, 22 (1998).
12. V. Agafonov, V. A. Davydov, L. S. Kasherova et al., Chem. Phys. Lett. **267**, 193 (1997).
13. Y. Iwasa, T. Arima, R. M. Fleming et al., Science **264**, 1570 (1994).
14. M. Nucez-Requeiro, L. Marques, J.-L. Hodeau et al., Phys. Rev. Lett. **74**, 278 (1995).
15. E. V. Shulakov, R. A. Dilanian, O. G. Rybchenko, and V. Sh. Shekhtman, Crystallography Rep. **41**, 39 (1996).
16. В. Л. Аксенов, Ю. А. Осипьян, В. С. Шахматов, Письма в ЖЭТФ **62**, 417 (1995).